

## 혈관평활근 수축에 대한 타이로신 인산화 억제제의 효과

정진영 · 윤여표\* · 안희열#  
충북대학교 의과대학, \*충북대학교 약학대학  
(Received August 26, 1997)

### Effects of Tyrosine Phosphorylation Inhibitors on Vascular Smooth Muscle Contraction

Jin Young Jung, Yeo-Pyo Yun\* and Hee Yul Ahn#  
College of Medicine, \*College of Pharmacy, Chungbuk National University,  
Cheongju 361-763, Korea

**Abstract**—We studied effects of genistein and tyrphostin, inhibitors of tyrosine kinase, on contractions induced by high  $K^+$  and norepinephrine in rat aorta. Genistein ( $10^{-6}$ ~ $10^{-4}$ M) and tyrphostin ( $10^{-6}$ ~ $10^{-4}$ M) inhibited high  $K^+$  and norepinephrine-induced sustained contractions, respectively in a concentration-dependent manner. High  $K^+$  and norepinephrine caused an increase in  $^{45}Ca^{2+}$  uptake while  $10^{-4}$ M genistein and tyrphostin inhibited the  $K^+$  and norepinephrine-increased  $^{45}Ca^{2+}$  uptake, respectively. These results show that inhibitor of tyrosine kinase blocks the voltage- and receptor-operated  $Ca^{2+}$  channels in rat aorta, respectively.

**Keywords** □ Tyrosine phosphorylation. Genistein. Tyrphostin.  $Ca^{2+}$  channel.

분자량 20,000 달톤(dalton)의 마이오신경쇄(myosin light chain)의 19번 세린(serine) 잔기의 인산화는 평활근 수축의 가장 필수적인 생화학적 현상으로 알려져 있다.<sup>1)</sup> 최근 타이로신 인산화효소(tyrosine kinase)에 의한 타이로신 잔기의 인산화가 평활근 수축에 관여할 것이라는 보고가 있었다.<sup>2)</sup> 타이로신 잔기의 인산화가 평활근 수축에 관여할 것으로 추론할 수 있는 근거로는 첫째로 예비발암유전자(proto-oncogene)인 pp60<sup>c-src</sup>에 의하여 조절되는 타이로신 인산화효소가 심장근 또는 골격근보다 평활근에 더 많이 분포하는 것이며<sup>3)</sup>, 둘째로 화학구조가 서로 다른 타이로신 인산화효소 억제제인 genistein과 tyrphostin이 각종 생리 자극에 의한 혈관 및 장관 평활근의 수축을 억제하는 것이다.<sup>4,5)</sup> 셋째로는 타이로신 인산화효소 수용체 작동물질인 혈소판유래성장인자(platelet-derived growth

factor) 및 표피세포성장인자(epidermal growth factor)가 혈관평활근의 수축을 야기하는 것이다.<sup>6,7,8,9)</sup> 넷째로는 타이로신 탈인산화효소(tyrosine phosphatase)의 억제제인 vanadate가 장관평활근의 수축을 야기하는 것이다.<sup>10)</sup>

그러나, 타이로신 잔기의 인산화가 평활근의 수축에 아무런 역할을 하지 못한다는 반대의 보고도 있다. 첫째로 tyrphostin이 자발적 고혈압흰쥐 대동맥의 칼륨(KCl) 수축과 phenylephrine 수축을 억제하지 못하며<sup>11)</sup>, 둘째로 기니아피프 및 흰쥐의 대동맥 노르에피네프린 수축을 genistein과 tyrphostin이 억제하지 못하는 것이다.<sup>12)</sup> 따라서 평활근의 수축에서 타이로신 잔기의 인산화의 역할에 대한 논의는 현재까지도 분분한 실정이다.

한편, 타이로신 인산화효소 억제제의 작용기전에 대해서도 여러 보고가 있는데, 타이로신 인산화효소 억제제는 돼지의 경동맥에서  $Ca^{2+}$ 의 이동을 억제한다고 보고되었고<sup>13)</sup>, 기니아피프 회장에서는 타이로신 인산화

# 본 논문에 관한 문의는 이 저자에게로  
(전화) 0431-61-2850 (팩스) 0431-272-1603

효소 억제제가  $Ca^{2+}$ 의 감수성을 변화시킨다고 보고되었다.<sup>14)</sup>

본 연구에서는 혈관평활근수축에서의 단백질 타이로신잔기 인산화의 역할을 검토하기 위하여 타이로신 인산화효소 억제제를, 흰쥐의 대동맥을 재료로하여 고농도의 칼륨 및 노르에피네프린 수축에 적용하여 이완작용 및 그 기전을 조사하였다.

### 실험방법

**표본의 제작 및 실험방법** - 흰쥐(Sprague-Dawley, 수컷, 9 주령, 250~350 g)는 100% 이산화탄소를 흡입시켜 치사시킨 후 흉대동맥을 조심스럽게 분리하였다. 곧이어 지방조직을 박리하고 내피세포를 면봉으로 세 번 상하로 문지른 후 신속히 혈관절편을 나선형으로 자르고 10 ml의 생리식염액(physiological salt solution, PSS)이 들어있는 챔버(organs chamber) 안으로 이동시킨 후 고정하였다. 이때 생리식염액은 37°C로 온도를 유지하였고 95%  $O_2$ /5%  $CO_2$ 로 가스를 공급하여 pH를 7.4로 일정하게 유지하였다. 혈관평활근 장력은 isometric 으로 Gould(미국)의 polygraph를 이용하여 측정하였다. 정지장력은 1 그램(g)을 주었고 혈관조직은 실험을 시작하기 전에 1시간동안 적응시간을 주었다. 이때 타이로신 인산화효소 억제제인 tyrphostin과 genistein의 수축에 미치는 작용을 검토하기 위하여 고농도의 칼륨 및 1  $\mu$ M 노르에피네프린 수축 시작 30분 전에 각각 전처치하였다.  $^{45}Ca^{2+}$  유입은 2시간 동안 혈관조직을 생리식염액에서 적응시킨 후  $^{45}Ca^{2+}$  을 2  $\mu$ Ci/ml의 농도로 5분간 고농도의 칼륨 또는 1  $\mu$ M 노르에피네프린으로 자극하였다. 이때 타이로신 인산화효소 억제제인 tyrphostin과 genistein의  $^{45}Ca^{2+}$  유입에 미치는 작용을 검토하기 위하여 고농도의 칼륨 또는 1  $\mu$ M 노르에피네프린으로 자극 30분 전에 전처치하였다. 조직내의  $Ca^{2+}$  정량은 우선 조직표면에 결합된  $Ca^{2+}$ 을 제거하기 위하여 세정용액으로 30분간 0°C에서 세정하였다. 세정한 후 혈관조직을 20 mM EGTA 용액으로 하룻밤 침적시켜 조직내의  $^{45}Ca^{2+}$ 을 용출하였다. 곧이어 카테일(scintillation cocktail)을 5 ml 주입하여 액체방사능측정기(liquid scintillation counter, Beckman, USA)로 측정하였다.

**시약** - 실험에 사용한 시약인 genistein, tyrphostin, norepinephrine는 Sigma Chemical회사(St.

Louis, USA)의 제품을 사용하였고, 생리식염액(physiological salt solution, PSS)의 조성(mM)은 NaCl 136.9, KCl 5.4, glucose 5.5,  $NaHCO_3$  23.8,  $CaCl_2$  1.5,  $MgCl_2$  1.0 and EDTA 0.01 이었다. 등장성 고농도의 칼륨용액은(high  $K^+$ -PSS)은 NaCl의 농도를 60 mM 줄이고 KCl의 농도를 60 mM 증가시켰다. 한편,  $^{45}Ca^{2+}$  세정용액의 조성(mM)은  $LaCl_3$  73.8, glucose 5.5, TRIS 24 이었고, 1 N 말레익산(maleic acid)으로 pH를 6.8~6.9로 조정하였다.  $^{45}Ca^{2+}$ 은 New England Nuclear(Wilmington, USA) 회사의 제품을 사용하였고, 형광카테일은 Beckman회사(Fullerton, USA)의 제품을 사용하였다.

**통계분석** - Tyrphostin과 genistein의 이완작용은 약물을 투여하기 30분 전의 고농도의 칼륨수축 및 1  $\mu$ M의 노르에피네프린의 수축을 각각 100%로써 설정하여 대조수축에 대한 백분율로써 나타내었다. Tyrphostin과 genistein의  $^{45}Ca^{2+}$  유입에 대한 작용은 고농도의 칼륨수축 및 1  $\mu$ M의 노르에피네프린의 5분간의  $^{45}Ca^{2+}$  유입량을 30분간 약물 전처치시의 고농도의 칼륨수축과 1  $\mu$ M의 노르에피네프린의 5분간의  $^{45}Ca^{2+}$  유입량으로 각각 비교하였다. 실험결과와 통계처리는 Student's *t* test에 의하여 분석하였으며, P값이 0.05 이하일 때 유의성이 있다고 판정하였다.

### 실험결과

#### Genistein과 Tyrphostin의 혈관이완작용

고농도의 칼륨(65.4 mM KCl)은 지속적인 수축을 유발하였고, 투여 30분 후에 최대에 도달하여 계속 유지되었다. 최대 수축의 크기는  $0.74 \pm 0.05$  g(n=4) 이었다. 1  $\mu$ M 노르에피네프린(norepinephrine)도 지속적인 수축을 유발하였고, 투여 30분 후에 최대에 도달하여 계속 유지되었다. 최대 수축의 크기는  $0.72 \pm 0.05$  g(n=4) 이었다. Genistein을  $10^{-6}$  M부터  $10^{-4}$  M 까지 30 분간 전처치 하였을 때 고농도의 칼륨(65.4 mM KCl) 수축과 1  $\mu$ M 노르에피네프린에 의한 수축은 각각 억제되었다(Fig. 1). 이때 genistein의 고농도의 칼륨수축에 대한 50% 억제농도( $IC_{50}$ )는  $2.29 \times 10^{-5}$  M(n=4) 이었고, 노르에피네프린 수축에 대한  $IC_{50}$ 는  $2.19 \times 10^{-5}$  M(n=4) 이었다. 한편, tyrphostin을  $10^{-5}$  M부터  $10^{-4}$  M 까지 30 분간 전처치 하였을 때 고농도의 칼륨(65.4 mM KCl) 수축과 1  $\mu$ M

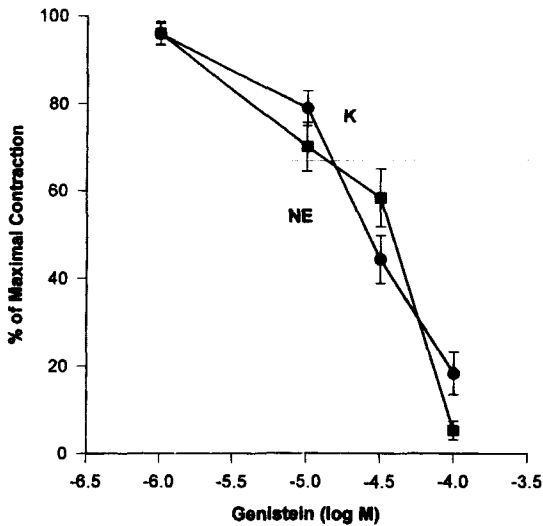


Fig. 1—The inhibitory effects of genistein on contractile responses to high  $K^+$  (● : 65.4 mM KCl) and  $10^{-6}$  M norepinephrine (NE, ■) in rat aorta. Genistein ( $10^{-6}$  M– $10^{-4}$  M) was added to the bath 30 min before the addition of high  $K^+$  and  $10^{-6}$  M NE. The maximal contractions induced by these in the absence of genistein treatment were taken as 100%. Data were expressed as the means  $\pm$  SEM of four experiments.

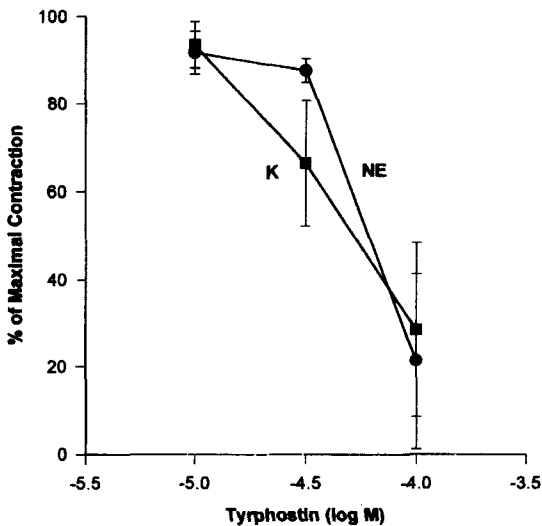


Fig. 2—The inhibitory effects of tyrphostin on contractile responses to high  $K^+$  (● : 65.4 mM KCl) and  $10^{-6}$  M norepinephrine (NE, ■) in rat aorta. Tyrphostin ( $10^{-5}$  M– $10^{-4}$  M) was added to the bath 30 min before the addition of high  $K^+$  and  $10^{-6}$  M NE. The maximal contractions induced by these in the absence of tyrphostin treatment were taken as 100%. Data were expressed as the means  $\pm$  SEM of four experiments.

노르에피네프린에 의한 수축은 각각 억제되었다(Fig. 2). 이때 tyrphostin의 고농도의 칼륨수축에 대한 50%  $IC_{50}$ 는  $5.13 \times 10^{-5}$  M ( $n=4$ ) 이었고, 노르에피네프린 수축에 대한 50% 억제농도  $IC_{50}$ 는  $7.94 \times 10^{-5}$  M ( $n=4$ ) 이었다.

#### Genistein과 Tyrphostin의 $^{45}Ca^{2+}$ 유입억제작용

고농도의 칼륨(65.4 mM KCl)은  $^{45}Ca^{2+}$  유입을 정지 상태인  $66.3 \pm 1.6$  nmol/g aorta/5 min ( $n=6$ )에서  $108.1 \pm 6.5$  nmol/g aorta/5 min으로 유의하게 ( $P < 0.01$ ,  $n=6$ ) 증가시켰다.  $10^{-4}$  M genistein 30분 전처치에 의하여 고농도 칼륨에 의하여 증가된  $^{45}Ca^{2+}$  유입은  $50.2 \pm 13.9$  nmol/g aorta/5 min으로 유의하게 감소되었다 ( $P < 0.01$ ,  $n=4$ ).  $1 \mu$ M 노르에피네프린에 의하여  $^{45}Ca^{2+}$  유입은 정지상태인  $71.9 \pm 5.2$  nmol/g aorta/5 min ( $n=5$ )에서  $138.6 \pm 19.5$  nmol/g aorta/5 min으로 유의하게 증가되었다 ( $P < 0.05$ ,  $n=6$ ).  $10^{-4}$

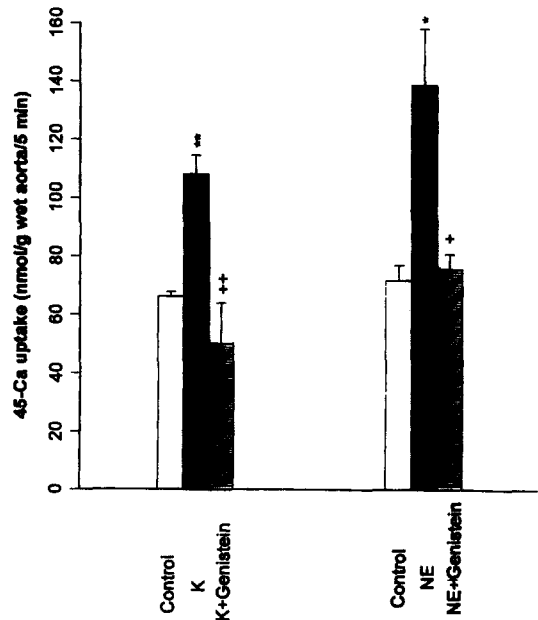


Fig. 3—The effects of genistein on high  $K^+$  (65.4 mM KCl) and  $10^{-6}$  M norepinephrine (NE)-induced  $^{45}Ca^{2+}$  uptake in rat aorta. Before 5 min treatment with high  $K^+$  and  $10^{-6}$  M NE, the aorta was pretreated with  $10^{-4}$  M genistein for 30 min. Values are expressed as means  $\pm$  SEM. ( $n=4$ ). Statistical difference from control values is noted as \*\* $P < 0.01$ , \* $P < 0.05$ , respectively, and from high  $K^+$  and  $10^{-6}$  M NE-treated values, as ++ $P < 0.01$ , + $P < 0.05$ , respectively.

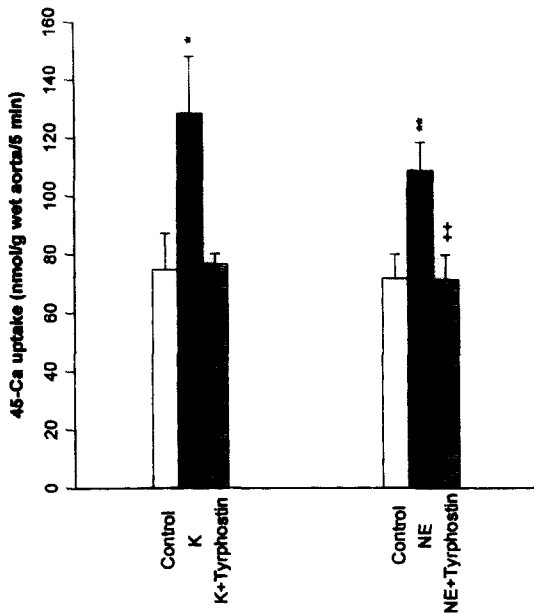


Fig. 4—The effects of tyrophostin on high  $K^+$  (65.4 mM KCl) and  $10^{-6}$  M norepinephrine (NE)-induced  $^{45}\text{Ca}^{2+}$  uptake in rat aorta. Before 5 min treatment with high  $K^+$  and  $10^{-6}$  M NE, the aorta was pretreated with  $10^{-4}$  M tyrophostin for 30 min. Values are expressed as means  $\pm$  SEM. (n=4). Statistical difference from control values is noted as \*\* $P < 0.01$ , \* $P < 0.05$ , respectively, and from  $10^{-6}$  M NE-treated values, as  $^{++}P < 0.01$ .

M genistein 30분 전처치로  $1 \mu\text{M}$  노르에피네프린에 의하여 증가된  $^{45}\text{Ca}^{2+}$  유입은  $75.8 \pm 5.1$  nmol/g aorta/5 min으로 유의하게 감소되었다( $P < 0.05$ , n=4) (Fig. 3). 한편, 고농도의 칼륨에 의하여  $^{45}\text{Ca}^{2+}$  유입은 정지상태인  $74.8 \pm 12.3$  nmol/g aorta/5 min(n=6)에서  $128.3 \pm 19.7$  nmol/g aorta/5 min으로 유의하게 ( $P < 0.05$ , n=6) 증가하였다.  $10^{-4}$  M tyrophostin 30분 전처치로 고농도의 칼륨에 의하여 증가된  $^{45}\text{Ca}^{2+}$  유입은  $76.5 \pm 3.6$  nmol/g aorta/5 min(n=4)으로 감소하였으나 유의한 차이는 없었다.  $1 \mu\text{M}$  노르에피네프린에 의하여  $^{45}\text{Ca}^{2+}$  유입은 정지상태인  $71.7 \pm 8.2$  nmol/g aorta/5 min(n=6)에서  $108.6 \pm 9.7$  nmol/g aorta/5 min( $P < 0.05$ , n=6)으로 유의하게 증가되었고,  $10^{-4}$  M tyrophostin 30분 전처치로  $1 \mu\text{M}$  노르에피네프린에 의하여 의하여 증가된  $^{45}\text{Ca}^{2+}$  유입은  $71.2 \pm 8.6$  nmol/g aorta/5 min( $P < 0.05$ , n=4)으로 유의하게 감소하였다(Fig. 4).

## 고 찰

본 실험에서 타이로신 인산화효소 억제제인 genistein과 tyrophostin은 흰쥐 대동맥의 고농도의 칼륨 및 노르에피네프린에 의한 수축을 농도의존적으로 억제하였다. 이때 고농도의 칼륨 및 노르에피네프린에 의한 수축에 대하여 genistein의 억제작용이 tyrophostin의 억제작용보다 더 강력하였다. Genistein은 고농도의 칼륨 및 노르에피네프린에 의한 수축에 대하여 유사한 억제작용을 보였으나, tyrophostin은 노르에피네프린에 의한 수축보다 고농도의 칼륨에 의한 수축에 더 억제작용을 보였다. Genistein은 상경적인 ATP의 억제제로 알려져 있고, tyrophostin은 가성기질(pseudosubstrate)의 억제제로 알려져 있다. 따라서 작용기전에 의한 차이가 genistein과 tyrophostin의 고농도의 칼륨 및 노르에피네프린에 의한 수축에 대한 억제정도의 차이를 나타낼 지도 모른다.

타이로신 인산화효소억제제는 수용체 작동약물에 의한 수축을 억제하였으나<sup>5)</sup>, 흰쥐대동맥에서 tyrophostin은 고농도의 칼륨에 의한 수축을 억제하지 못하였다.<sup>9, 15)</sup> 그러나, 개의 장간막동맥에서 genistein은 고농도의 칼륨에 의한 수축을 억제하였다.<sup>16)</sup> 흰쥐 대동맥에서 genistein과 tyrophostin은 고농도의 칼륨에 의한 수축과 페닐에프린(phenylephrine)에 의한 수축을 억제하였다.<sup>17)</sup> 이와는 반대로 흰쥐 대동맥에서 genistein과 tyrophostin은 노르에피네프린에 의한 수축을 억제하지 못하였다.<sup>12)</sup> 이와같이 고농도의 칼륨 및 수용체 작동약물에 의한 수축에 대한 타이로신 인산화효소 억제제의 억제작용은 일관된 결과가 도출되어 있지 못한 실정이다. 그 이유는 각 실험실에서 사용한 실험재료 및 사용농도의 차이가 원인이 아닌가 생각한다. 본 실험에서는 타이로신 인산화효소의 농도를  $10^{-6}$  M부터 최대  $10^{-4}$  M까지 사용하였다. 일반적으로 고농도의 약물을 사용하면 비특이적인 작용을 나타낼 수 있기 때문에 실험결과의 분석에 주의를 기울여야 하지만, genistein의 경우  $3 \times 10^{-4}$  M까지 타이로신 인산화효소 이외의 효소에는 아무런 영향이 없다는 보고가 되어있다.<sup>18)</sup> 따라서 흰쥐 대동맥에서 고농도의 칼륨 및 노르에피네프린에 의한 수축에는 적어도 타이로신 인산화효소의 활성이 매개되어 있다고 생각된다. 즉, 어떤 명확한 단백질의 타이로신잔기의 인산화가 고농도의 칼륨 및 노르에피네프린에 의한 수축에 중요하리라는 가능성을 말 해 주고 있다.

한편, 타이로신 인산화효소 억제제의 작용기전을 알아보기 위하여  $^{45}\text{Ca}^{2+}$  유입에 대한 영향을 검토하였고, 그 결과 Fig. 3, 4에서 보는 바와 같이 genistein과 tyrphostin은 고농도의 칼륨 및 노르에피네프린에 의한  $^{45}\text{Ca}^{2+}$  유입을 각각 억제하였다. 혈관평활근세포에서는 전위의존성  $\text{Ca}^{2+}$  이온통로는 물론 수용체 작동성  $\text{Ca}^{2+}$  이온통로도 존재한다.<sup>19, 20, 21</sup> 혈관평활근세포에서 genistein과 tyrphostin은 전위의존성  $\text{Ca}^{2+}$  이온통로를 억제한다고 보고되었고<sup>22, 23</sup>, 수용체 작동약물에 의하여 혈관평활근세포내에  $\text{Ca}^{2+}$ 이 증가하고 이  $\text{Ca}^{2+}$ 의 증가와 단백질 타이로신 잔기의 인산화가 관련이 있다는 보고도 되어있다.<sup>24</sup> 따라서 본 실험결과와 위의 보고된 결과를 종합하여 볼 때 혈관평활근세포에서 전위의존성  $\text{Ca}^{2+}$  이온통로와 수용체 작동성  $\text{Ca}^{2+}$  이온통로의 활성화에는 어떤 미확인 단백질의 타이로신 잔기의 인산화가 중요한 것으로 추측된다. 이 인산화가 타이로신인산화효소 억제제인 genistein과 tyrphostin에 의하여 억제되면  $\text{Ca}^{2+}$  이온통로가 차단되어 결과적으로 수축이 억제되는 것으로 판단된다. 실제로 세포배양한 흰쥐 대동맥 평활근세포의 막분획에서 단백질의 타이로신 잔기의 활성이 측정되었다.<sup>25</sup> 그러나 정확히 막분획의 어떤 단백질의 타이로신 잔기의 활성이  $\text{Ca}^{2+}$  이온통로의 활성화와 상관이 있는지는 앞으로 규명되어야 할 중요한 연구과제라 생각된다.

## 결 론

혈관평활근 수축에 대한 타이로신 인산화의 역할을 알아보기 위하여 타이로신 인산화효소 억제제인 genistein과 tyrphostin의 고농도의 칼륨 및 노르에피네프린 수축에 대한 영향과 그 작용기전을 흰쥐대동맥평활근에서 검토하였다.

1. 타이로신 인산화효소 억제제인 genistein은 고농도의 칼륨 및 노르에피네프린에 의한 수축을 각각 농도 의존적으로 억제하였다.
2. 타이로신 인산화효소 억제제인 tyrphostin은 고농도의 칼륨 및 노르에피네프린에 의한 수축을 각각 농도 의존적으로 억제하였다.
3. 고농도의 칼륨(65.4 mM KCl)은  $^{45}\text{Ca}^{2+}$  유입을 유의하게 증가시켰다.  $10^{-4}$  M genistein 및 tyrphostin 30분 전처치에 의하여 고농도 칼륨에 의하여 증가된  $^{45}\text{Ca}^{2+}$  유입은 각각 유의하게 감소되었다.  $1 \mu\text{M}$  노르에

피네프린에 의하여  $^{45}\text{Ca}^{2+}$  유입은 유의하게 증가되었다.  $10^{-4}$  M genistein 및 tyrphostin 30분 전처치로  $1 \mu\text{M}$  노르에피네프린에 의하여 증가된  $^{45}\text{Ca}^{2+}$  유입은 각각 유의하게 감소되었다.

이상의 결과로써 타이로신인산화효소 억제제인 genistein과 tyrphostin은 고농도의 칼륨 수축 및 노르에피네프린 수축을 억제하며 그 억제작용기전은 고농도의 칼륨 및 노르에피네프린에 의하여 열리는  $\text{Ca}^{2+}$  이온통로를 억제하는 것으로 평가된다. 따라서 흰쥐 대동맥평활근세포에서 전위의존성 및 수용체작동성  $\text{Ca}^{2+}$  이온통로의 활성화에 미확인 단백질의 타이로신 잔기의 인산화가 중요할 것으로 사료된다.

## 감사의 말씀

본 논문은 1995년 교육부 기초의학 연구비(안희열, No 209)에 의하여 완성되었기에 감사를 드립니다.

## 문 헌

- 1) Somlyo, A. P. and Somlyo, A. V. : Signal transduction and regulation in smooth muscle. *Nature* **372**(17), 231 (1994).
- 2) Di Salvo, J., Steusloff, A., Semenchuk, L. A., Satoh, S., Kolquist, K. and Pfizer, G. : Tyrosine kinase inhibitors suppress agonist-induced contraction in smooth muscle. *Biochem. Biophys. Res. Comm.* **190**(3), 968 (1993).
- 3) Di Salvo, J., Gifford, D. and Kokkinakis, A. : pp60<sup>c-src</sup> kinase activity in coronary extracts is stimulated by ATP. *Biochem. Biophys. Res. Comm.* **153**, 338 (1988).
- 4) Yang, S. G., Saifeddine, M. and Hollenberg, M. D. : Tyrosine kinase inhibitors and the contractile action of epidermal growth factor, urogastrone and other agonists in gastric smooth muscle. *Can. J. Physiol. Pharmacol.* **70**, 85 (1992).
- 5) Di Salvo, J., Pfizer, G. and Semenchuk, L. A. : Protein tyrosine phosphorylation, cellular  $\text{Ca}^{2+}$ , and  $\text{Ca}^{2+}$  sensitivity for contraction of smooth muscle. *Can. J. Physiol. Pharmacol.* **72**(11), 1434 (1994).
- 6) Berk, B. C., Brock, T. A., Webb, R. C., Taubman, M. B., Atkinson, W. J., Gimbrone, M. A.

- Jr. and Aleander, R. W. : Epidermal growth factor, a vascular smooth muscle mitogen, induces rat aortic contraction. *J. Clin. Invest.* **75**(3), 1083-1086 (1985).
- 7) Morgan, K. G., DeFeo, T. T., Wenc, K. and Weinstein, R. : Alterations of excitation-contraction coupling by platelet-derived growth factor in enzymatically isolated and cultured vascular smooth muscle. *Eur. J. Pharmacol.* **405**(1), 77 (1985).
- 8) Gan, B. S. and Hollenberg, M. D. : Distinct coronary artery receptor systems for epidermal growth factor-urogastrone. *J. Pharmacol. Exp. Ther.* **252**(3), 1277 (1990).
- 9) Laniyonu, A. A., Saifeddine, M., Yang, S. G. and Hollenberg, M. D. : Tyrosine kinase inhibitors and the contractile action of G-protein-linked vascular agonists. *Can. J. Physiol. Pharmacol.* **72**, 1075 (1994b).
- 10) Di Salvo, J., Semenchuk, L. A. and Lauer, J. : Vanadate-induced contraction of smooth muscle and enhanced protein phosphorylation. *Arch. Biochem. Biophys.* **304**, 386 (1993b).
- 11) Sauro, M. D. and Thomas, B. : Typhostin attenuates platelet-derived growth factor-induced contraction in aortic smooth muscle through inhibition of protein tyrosine kinase(s). *J. Pharmacol. Exp. Ther.* **267**(3), 1119 (1993).
- 12) Saifeddine, M., Laniyonu, A., Yang, S. G. and Hollenberg, M. D. : Tyrosine kinase inhibitors and the contractile action of angiotensin-II in vascular tissue. *Pharmacol. Commun.* **1**, 117 (1992).
- 13) Gould, E. M., Rembold, C. M. and Murphy, R. A. : Genistein, a tyrosine kinase inhibitor, reduces  $Ca^{2+}$  mobilization in swine carotid media. *Am. J. Physiol.* **268**, C1425 (1995).
- 14) Steusloff, A., Paul, E., Semenchuk, L. A., Di Salvo, J. and Pfizer, G. : Modulation of  $Ca^{2+}$  sensitivity in smooth muscle by genistein and protein phosphorylation. *Archiv. Biochem. Biophys.* **320**(2), 236 (1995).
- 15) Abebe, W. and Agrawal, D. K. : Role of tyrosine kinases in norepinephrine-induced contraction of vascular smooth muscle. *J. Cardiovas. Pharmacol.* **26**, 153 (1995).
- 16) Low, A. M. : Role of tyrosine kinase on  $Ca^{2+}$  entry and refilling of agonist-sensitive  $Ca^{2+}$  stores in vascular smooth muscles. *Can. J. Physiol. Pharmacol.* **74**, 298 (1996).
- 17) Filipeanu, C. M., Brailoiu, E., Huhurez, G., Slatineanu, S. and Baltatu, O. : Multiple effects of tyrosine kinase inhibitors on vascular smooth muscle contraction. *Eur. J. Pharmacol.* **28**(1), 29 (1995).
- 18) Akiyama, T., Ishida, J., Nakgawa, S., Ogawara, H., Watanabe, S., Itoh, N., Shibuya, M. and Fukami, Y. : Genistein, a specific inhibitor of tyrosine-specific protein kinases. *J. Biol. Chem.* **262**, 5592 (1987).
- 19) Flaim, S. F. and Craven, R. A. : Diltiazem and verapamil inhibit norepinephrine-stimulated  $^{45}Ca$  uptake in rabbit aorta. *Pharmacology* **22**(5), 286 (1981).
- 20) Karaki, H., Nakagawa, H. and Urakawa, N. : Age-related changes in sensitivity to verapamil and sodium nitroprusside of vascular smooth muscle of rabbit aorta. *Br. J. Pharmacol.* **85**(1), 223 (1985).
- 21) Malta, E., Schini, V. and Miller, R. C. : Effect of endothelium on basal and alpha-adrenoceptor stimulated calcium fluxes in rat aorta. *Naunyn-Schmied Arch. Pharmacol.* **334**, 63 (1986).
- 22) Wijetunge, S., Aalkjaer, C., Schachter, M. and Hughes, A. D. : Tyrosine kinase inhibitors block calcium channel currents in vascular smooth muscle cells. *Biochem. Biophys. Res. Comm.* **189**(3), 1620 (1992).
- 23) Laniyonu, A. A., Saifeddine, M., Ahmad, S. and Hollenberg, M. D. : Regulation of vascular and gastric smooth muscle contractility by per-vanadate. *Br. J. Pharmacol.* **113**, 403 (1994a).
- 24) Semenchuk, L. A. and Di Salvo, J. : Receptor-activated increases in intracellular calcium and protein tyrosine phosphorylation in vascular smooth muscle cells. *FEBS Lett.* **370**(1-2), 127 (1995).
- 25) Srivastava, A. K. : Protein tyrosine kinase activity in cultured vascular smooth muscle cells (VSMC) from rat aorta. *Int. J. Biochem.* **26**(4), 547 (1994).